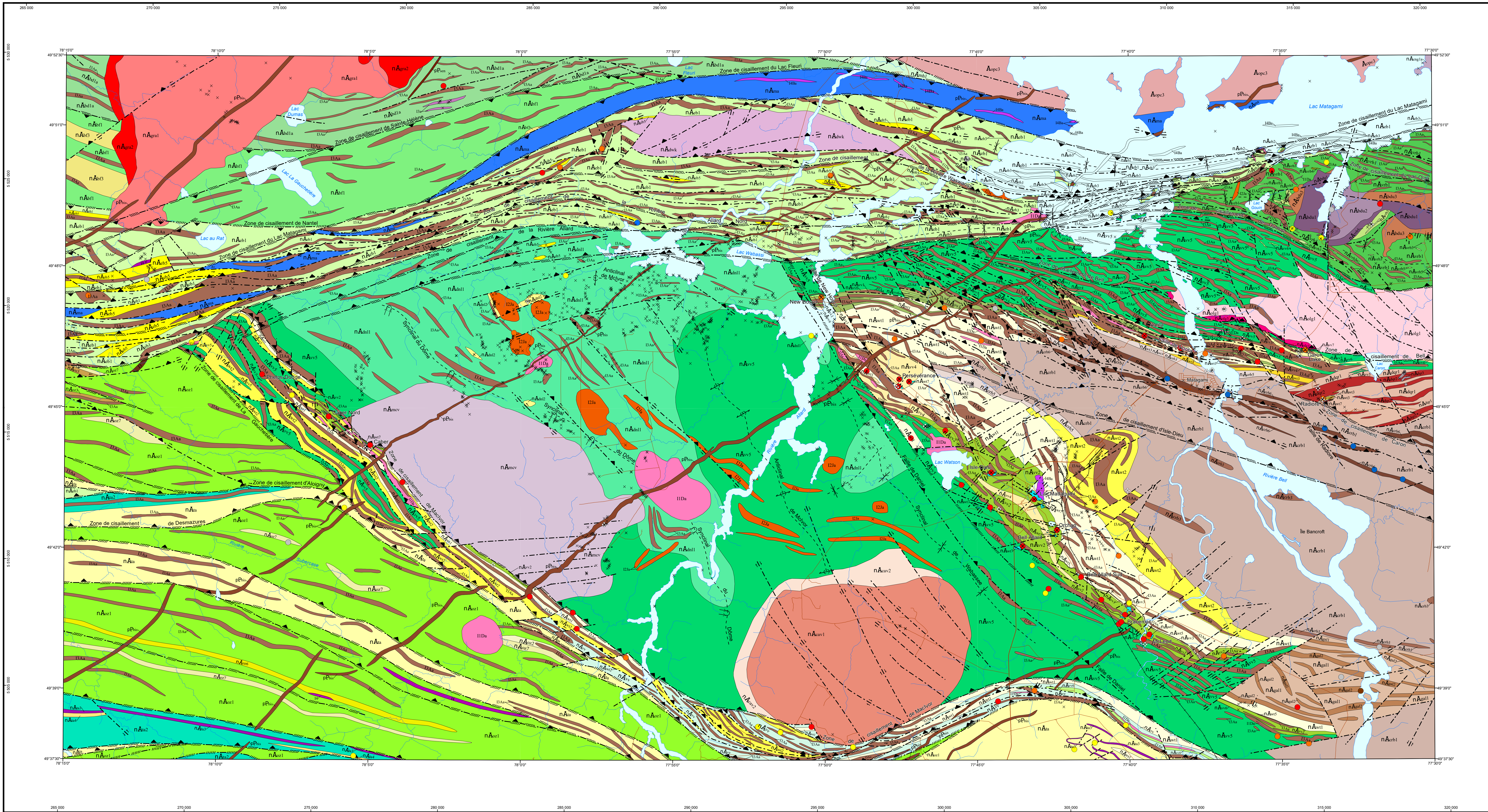
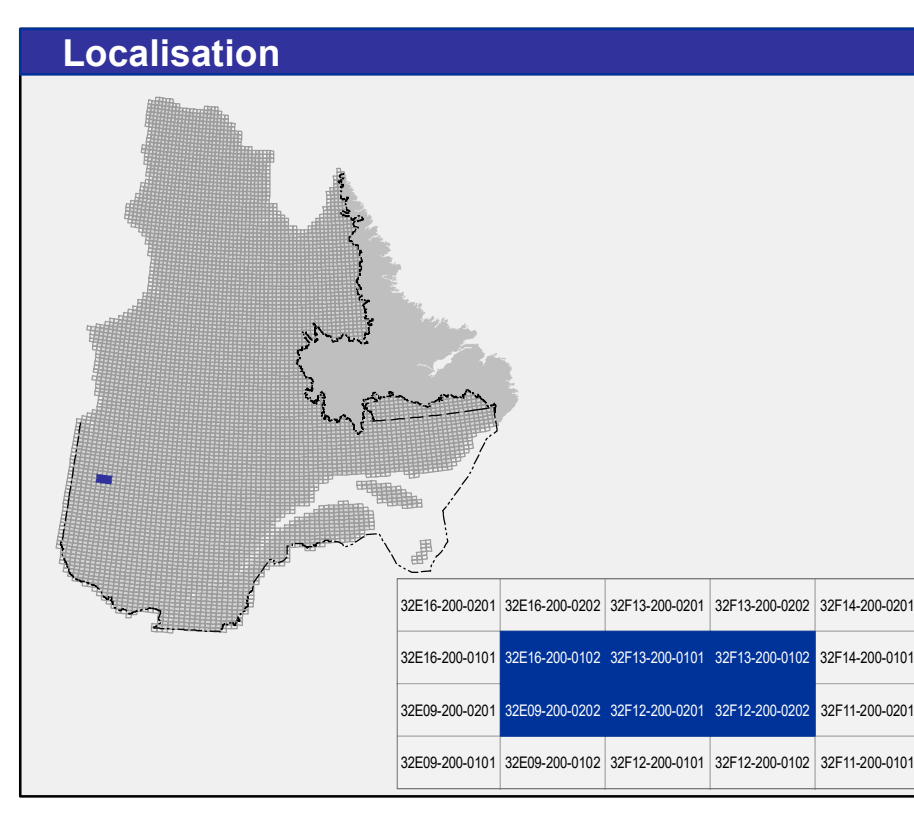


Révision de la géologie de la région de Matagami, Sous-province de l'Abitibi



LÉGENDE STRATIGRAPHIQUE

- PROTÉROZOÏQUE**
- Dykes de Biscotaing (2174.6 à 2168.7 et 1.4 Ma, Buchan et al., 1993; Davis et Stott, 2003; Halls et Davis, 2004; Halls et al., 2005; Hamilton et Stott, 2008)
 - Dykes de Sennetero (2214.3 à 2152.4 Ma, Buchan et al., 1993; 2216-18-4 Ma, Mortenson dans Buchan et al., 1996; 2221-24 Ma, Davis et al., 2018)
 - Dykes de Gabbrotonne, gabbro
- NÉOARCHÉEN**
- SOUS-PROVINCE D'ABITIBI**
- Piton d'Oiga (2693-32 Ma, Mortenson, 1993)**
- Granodiorite et tonalite à hornblende-biotite
 - Tonalite et granodiorite à biotite-hornblende
- Piton de Nedawaka**
- Tonalite
- Piton de Cavalier**
- Diorite, diorite quartzifère et tonalite
 - Granodiorite et tonalite porphyrique à quartz
- Piton de Granest**
- Monzonite, granodiorite et diorite
- Piton de la Baie Dumlop**
- Monzogranite
 - Diorite et diorite quartzifère
 - Tonalite à hornblende-biotite
 - Tonalite à hornblende
- Groupe de Tali (2086 Ma, Pilote et al., 1999; >2685-53 Ma, Davis et al., 2005)**
- Alternance de wackes, mudrock graphitiques, chert, conglomérat polygénique et formation de fer rubané à oxydes
 - Conglomérat polygénique, mudrock graphitiques et chert
 - Formation de fer rubané à oxydes, en alternance avec des mudrocks et des wackes
 - Wackes et mudrock graphitiques ou ossilites
 - Alternance de wackes et de mudrock, localement graphitiques et schistes graphitiques
- Groupe de Matagami (2701-1 Ma, Davis et al., 2005)**
- Siltstone, mudstone, conglomérat polygénique et grès
- Suite gabbroïque de Galmée**
- Gabbro pegmatitique
 - Gabbro et mélégabbro
- Suite gabbroïque de Radore (2720-51 Ma, Mortenson, 1993)**
- Breche intrusive felsique à enclaves gabbroïques
 - Diorite quartzifère et diorite à magnétite
 - Diorite et gabbro pegmatitique
- Piton de MacIvor (2723-50.5 Ma, Rheault, 2010)**
- Tonalite, diorite quartzifère et diorite
- Complexe de la Rivière Bell (2725-31/2 Ma, Mortenson, 1993)**
- Assemblage rubané de gabbro, de pyroxénite et de magnétite
 - Gabbro granophyrique
 - Gabbro mésozoïque et melanocrate, à magnétite, localement rubané; pyroxénite et localement gabbro-lacocrite
 - Ancrothite gabbroïque, gabbro anorthositique et gabbro
- Groupe d'Éclairan-Bapt**
- Volcanite felsique
 - Gabbro et volcanite mafique magnétique
 - Echaille laminaire et tuf chertoux à pyrite-graphite
 - Roche volcanique et intrusive mafique, localement à magnétite
- Groupe de Wabessee**
- Formation de Daniel**
- Rhyolite porphyrique à phénoïtaux de quartz, massive à lobée
 - Andésite et basalte andésitique amygdalaire, d'affinité transitionnelle à calco-alcaline
 - Volcanodésite felsique à intermédiaire
 - Rhyolite et dacite massive à bréchique
 - Tuf à cristaux, à lapilles étoués à blocs, de composition felsique à intermédiaire, localement pyritaux ou avec chert
 - Basalte, andésite, basalte amphibolitisé et basalte schisteux
- Formation de la Rivière Allan (2725.9-50.7 Ma à 2724.9-50.7 Ma, Debelin et al., 2011)**
- Basalte et andésite généralement amygdalaire, socles porphyriques, comportant des niveaux de rhyolite et de dacite
 - Sulfures semi-massifs à massifs associés à des volcanites felsiques
 - Tuf de composition felsique à intermédiaire, à cristaux, à lapilles étoués à blocs, localement pyritaux ou avec chert
 - Basalte et basalte andésitique supérieur, localement amygdalaire, d'affinité trébolitique
 - Rhyolite et dacite massive à bréchique (incluant la Rhyolite de Dumagami)
 - Rhyolite porphyrique (incluant la Rhyolite de Braconnac)
 - Andésite et andésite basaltique "refrèneuse", localement amygdalaire, d'affinité transitionnelle
 - Basalte central, généralement porphyrique, d'affinité trébolitique
- LÉGENDE LITHOLOGIQUE**
- NÉOARCHÉEN**
- Tonalite
 - Tonalite et intrusion felsique
 - Diorite
 - Diorite et diorite quartzifère
 - Roche intrusive mafique
 - Roche ignée mafique à ultramafique
 - Gabbro et volcanite mafique magnétique
 - Filons-couches gabbroïques à parties sommitales granophyrique
 - Roche intrusive ultramafique
 - Pyroxénite et pyroxénite à plagioclase
- INDICE ET ÔTE**
- Argent, cuivre
 - Fer, nickel
 - Or, vanadium
 - Zinc, autre
 - Pierre concassée
- GÉOCHRONOLOGIE**
- Echantillon de géochronologie
- Cette carte géologique en format PDF comporte des calques (ou couches) qui regroupent les divers éléments du document (zones géologiques, hydrographie, affleurements de gabbro, etc.). Ces calques peuvent être affichés ou masqués dans la section « Calques » du « Viseur du navigateur » d'Adobe Acrobat Reader D.
- Les symboles et abréviations utilisés sur cette carte sont décrits dans la publication DV 2014-05 du ministère des Ressources naturelles et des Forêts.



Métadonnées

Surface de référence géodésique :	Ellipsoïde GRS 80
Système de référence géodésique :	NAD 83 compatible avec le système mondial WGS 84
Projection cartographique :	Mercator transverse universelle (MTU), fuseau 18
Longitude d'origine :	77°52'30"
Latitude d'origine :	0"

Sources

Données	Organisme
Base de données pour l'aménagement du territoire (BDAT 1000)	Ministère des Ressources naturelles et des Forêts

Réalisation

Géologie :	Pierre Pilote, Julie-Anne Debelin, Pierre Lacoste et Kenneth Williamson
Références :	Allard, M., Bissonnette, A.P., Rathin, G. (2018) - GM 71043 Beaudry, C., Goucher, E. (1966) - MB 66-32 Debelin, J.-A. (2014) - Thèse de doctorat, NRS Drolet, J.-A., Ross, P.-S., Mercier-Langlois, P. (2018) - Economic Geology, Vol. 113, N°4, Juin, p. 891-919 Genoa, D. (2015) - Thèse de doctorat, UQAC Jenney, C.P. (1961) - Economic Geology, Vol. 56, N°4, Juin-Juillet, p. 740-757 Lacoste, S., Girard, A., Pilote, P., Ouellet, L.-M. (2000) - DV 96-02 Lavallée, G. (1995) - Thèse de doctorat, UQAC MacGethen, P.J. (1978) - Canadian Journal of Earth Sciences, Vol. 15, N°4, avril, p. 561-570 MacGethen, P.J. (1979) - TH 0096 Maclean, W.H., Kroschwitz, E. (1957) - Economic Geology, Vol. 52, N°4, Juillet, p. 951-962 Mortenson, J.K. (1993) - Canadian Journal of Earth Sciences, Vol. 30, N°8, octobre, p. 11-28 Piché, M. (1991) - TH 1628 Piché, M., Guha, J., Daigneault, R. (1993) - Economic Geology, Vol. 88, N°4, juillet, p. 1540-1558 Pierre, S., Jébrak, M., Faure, S., Roy, G. (2016) - Economic Geology, Vol. 111, N°7, novembre, p. 1075-1094 Pilote, P., Debelin, J.-A., Williamson, K., Rabreau, O., Lacoste, P. (2011) - DV 2011-03 Renaud, J.K. (1969) - RP 864 Robert, R.G. (1975) - Economic Geology, Vol. 70, N°1, Janvier, p. 115-129 Ross, P.-S., McKeckel, V.J., Drolet, J.-A., Carr, P. (2014) - Economic Geology, Vol. 109, N°1, Janvier-Février, p. 89-101 Sharp, J.J. (1988) - RP 137 Williamson, K., Pilote, P., Rabreau, O. (2013) - MB 2013-05
Assistance technique :	Kathleen O'Brien, Karine Allard
Production :	Ministère des Ressources naturelles et des Forêts Direction générale de Géologie Québec
Diffusion :	Ministère des Ressources naturelles et des Forêts Direction de l'information géologique et de la promotion

ET 2021-01-C01

Le présent document n'a aucune portée légale.
Droits légaux : Bibliothèque et Archives nationales du Québec.
© Gouvernement du Québec, 1^{er} trimestre 2023

Carte de rapport ET 2021-01
Pour obtenir les données les plus récentes concernant cette région, nous vous suggérons de consulter les produits géomatiques du Système d'information géographique du Québec (SIGÉOM)

SIGÉOM
Système d'information géographique du Québec